



ارزیابی صحت پیش‌بینی ژنومی در معماری‌های مختلف ژنومی صفات کمی و آستانه‌ای با جانه‌های داده‌های ژنومی شبیه‌سازی شده، توسط روش جنگل تصادفی

یوسف نادری

استادیار، گروه علوم دامی، دانشگاه آزاد اسلامی، واحد آستارا، آستارا، ایران، (تویستنده مسؤول: y.naderi@iau-astara.ac.ir)
تاریخ دریافت: ۹۶/۰۴/۲۵
تاریخ پذیرش: ۹۷/۰۲/۲۱

چکیده

گزینش ژنومی چالشی امیدبخش برای کشف رموز ژنتیکی صفات کمی و کمی به منظور بهبود رشد ژنتیکی و صحت پیش‌بینی ژنومی در اصلاح دام می‌باشد. به علت ناخوانا بودن نسبتی از ژنوتیپ‌ها، پیش‌بینی دقیق صحت ژنومی نیازمند برآورد این نشانگرها از طریق جانه‌های می‌باشد. در نتیجه هدف این تحقیق برآورد صحت ژنومی روشن جنگل تصادفی در برای معماری‌های مختلف ژنومی برای آنالیز صفات کمی و آستانه‌ای دودویی بود. در فاز اول، داده‌های ژنومی از طریق نرم‌افزار QMSim با سطوح متفاوت و راشت‌پذیری (کم و زیاد) و تراکم‌های متفاوت جایگاه‌های صفات کمی (۰/۰ و ۰/۲۵ و ۰/۶۰) و تعداد ۴۸ کروموزم شبیه‌سازی شدند. در فاز دوم، برای شبیه‌سازی شرایط واقعی، بطور تصادفی اقدام به حذف (۵۰ و ۹۰ درصد) برخی نشانگر نموده و در مرحله بعد از طریق نرم افزار Flmpute اقدام به جانه‌های پیش‌بینی نقاط گم شده نموده و صحت جانه‌ی مورد ارزیابی قرار گرفت. در فاز سوم، داده‌ای اصلی و جانه‌ی با استفاده از روش جنگل تصادفی جهت ارزیابی صحت ژنومی صفات کمی و آستانه‌ای استفاده شدند. نتایج نشان داد که با افزایش سطح LD صحت جانه‌ی بهبود می‌یابد. با افزایش نسبت حذف نشانگرها (۹۰ درصد)، اثر صحت جانه‌ی بر صحت پیش‌بینی ژنومی پرونگر بود. در صفات آستانه‌ای، سناریویی با حد بالای QTL، LD و راشت‌پذیری و در صفات پیوسته، سناریویی با حد بالای LD و عملکرد روش جنگل تصادفی در برآورد صحت ژنومی صفات آستانه‌ای نسبت به صفات کمی بهتر بود.

واژه‌های کلیدی: عدم تعادل پیوستگی، صفات آستانه‌ای، یادگیری ماشینی، جانه‌ی، معماری ژنومی

می‌کند، در حالیکه داده‌های شبیه‌سازی شده به محقق اجازه می‌دهد تا جنبه‌های مختلف مثلاً معماری ژنتیکی صفت (عدم تعادل پیوستگی (LD)، و راشت‌پذیری و جایگاه‌های ژنی صفات کمی)، تعداد نشانگر و درجه خویشاوندی و ارزیابی برخی از منابع تغییرات مثل رانش ژنی، که با اکثر داده‌های واقعی قابل ارزیابی نیستند، را ممکن و از این طریق در جهت پیشبرد راهکارهای داده‌های واقعی کمک گرفت (۴۸,۳۹).

اگرچه صحت بالای ارزیابی ژنومی در برآورد ارزش‌های اصلاحی مهمترین عامل در پیش‌بینی ژنومی می‌باشد با این حال جنبه‌های اقتصادی این امر را نمی‌توان نادیده گرفت. در این راستا محققان سعی بر آن دارند تا با استفاده از راهکارهایی منطقی هزینه‌های گراف ارزیابی ژنومی کوتاه مدت را کاهش دهند. یکی از این راهکارها در ارزیابی ژنومی، جانه‌ی (Imputation) ژنوتیپی است که به فرآیند پیش‌بینی ژنوتیپ نشانگرهاست تعریف ژنوتیپ نشده در جمعیت آزمون با استفاده از الگوی تنوع هاپلوتپی جمعیت مرجع، اطلاق می‌گردد (۸). جانه‌ی تراشه‌های کم تراکم به تراکم بالا راهکار مساعدی در زمینه بهبود جنبه‌های اقتصادی ژنومیک بوده است. این تکنیک به محقق اجازه می‌دهد علاوه بر کاهش هزینه‌های توالی یابی، برآورد قابل قبولی از صحت پیش‌بینی ژنومی نیز حاصل شود (۴۰). اندازه مؤثر جمعیت (۴۲)، تراکم نشانگری (۹,۲۹,۴۰)، میزان LD (۲)، فراوانی آل کمیاب (۱۷) و نوع روش استفاده شده در جانه‌ی (۶) از مهم‌ترین عوامل مؤثر بر صحت جانه‌ی هستند. تحقیقات در مورد گاوها ای نلور بربزیل (Nelore) نشان داد که تراکم نشانگرها از مهم‌ترین عوامل مؤثر بر صحت جانه‌ی بود. جانه‌ی

مقدمه

هدف اصلی در برنامه‌های اصلاح دام بهبود خصوصیات ژنتیکی حیوانات در راستای بهبود صفات اقتصادی و پیشینه کردن سود است. استفاده از روش‌های مبتنی بر شجره در اصلاح دام، هرچند که تحول شرکفری در تولیدات حیوانی ایجاد کرد، اما استفاده از این روش‌ها، برای حیوانات جوان، صفات محدود به جنس و رکوردهایی که نیاز به کشتار داشتند با محدودیت‌هایی همراه بود. در نتیجه جستجو برای یافتن روش‌های کامل‌تر به نزدیک آغاز شد. در دهه‌ی ۹۰ میلادی، پژوهش‌های زیادی با استفاده از اطلاعات DNA و انتخاب با کمک نشانگرها انجام گرفت (۴) که تا حدودی افزایش پیشرفت را به دنبال داشت، اما با توجه به اینکه شمار انداک نشانگرها ژنتیکی توجیه کمی از واریانس ژنتیکی را در بر می‌گرفتند باعث ایجاد محدودیت در این روش شد (۱۴).

تحول چشمگیر در استفاده از اطلاعات مولکولی در اصلاح دام با ارائه مدل خاصی از MAS که با استفاده از نشانگرها مترکم تمام ژنوم را پوشش می‌دهن، شروع شد. این روش که گزینش ژنومی نامیده می‌شود، نخستین بار در سال ۱۹۹۸ معرفی شد (۴۴) و در ادامه، روش‌ها و اصول آن توسعه مowisn و همکاران (۲۴) ارایه شد. فاکتور کلیدی این روش، صحت برآورد ارزش‌های اصلاحی ژنومی می‌باشد.

در مطالعات ژنومی، هم داده‌های ژنومی واقعی و هم شبیه‌سازی شده، برای اهداف مختلفی مثل بررسی قدرت و دقیقت روش‌های مختلف آنالیزهای ژنتیکی و مقایسه برنامه‌های اصلاح نزدیک مختلف مبتنی بر ژنوم مورد استفاده قرار می‌گیرند. داده‌های واقعی اطلاعات خاصی را منعکس

گرفته شد. نوع سیستم تلاقی تصادفی بود و برای ۱۰ نسل دیگر جمعیت تکثیر شد (نسل ۱۲۱۰). در طراحی جمعیت نهایی، افاد آخرين نسل (نسل ۱۲۱۰) به عنوان جمعیت تایید که این افراد اطلاعات ژنتیکی داشته اما قادر اطلاعات ژنتیکی بودند. همچنین افراد ۴ نسل ما قبل جمعیت تایید (نسل ۱۲۰۶ تا ۱۲۰۹) در گروه جمعیت‌های مرجع که این افراد هم اطلاعات ژنتیکی داشته و هم ارزش‌های اصلاحی ژنومی آنها مشخص می‌باشد طبقه‌بندی شدند. شناسن تلاقی در همه‌ی حیوانات برابر (در هر دو جنس) و یک فرزند برای هر زایش در نظر گرفته شد. درصد جایگزینی برای نر و ماده به ترتیب ۸۰ و ۲۰ درصد در نظر گرفته شد. انتخاب حیوانات برتر برای نسل بعد براساس ارزش اصلاحی صورت گرفت. نشانگرها به صورت دو الی و به صورت فواصل بکسان در بین ۴۸ کروموزوم به طول ۱۰۰ سانتی مورگان توزیع شدند. به ازای هر کروموزوم ۲۰۸ نشانگر شبیه‌سازی شد. در نتیجه ۹۹۸۴ نشانگر برای پنل‌های ۱۰K شبیه‌سازی شد. دو سطح مختلف QTL (۹۶ و ۹۶۰) شبیه‌سازی شد که به صورت تصادفی در طول کروموزوم‌ها توزیع شدند. نرخ جهش برای نشانگرها و QTL‌ها در هر جایگاه و در هر نسل $2/5 \times 10^{-5}$ فرض شد (۳۷).

با توجه به اینکه از دیدگاه آماری توزیع احتمال QTL‌های صفات مهم اقتصادی توسط شمار انکی ژن‌ها دارای اثر عمده و درصد بالایی از ژن‌ها کوچک اثر هستند و این فرضیه به توزیع گاما نزدیکتر است (هایس و گودارد، ۲۰۰۱). در نتیجه توزیع احتمال QTL‌ها، گاما فرض شد. همچنین فراوانی الی اویله برای نشانگرها ۵/۰ در نظر گرفته شد. در هر نسل و هر جایگاه کل میزان واریانس افزایشی توسط QTL توجیح شد. دو سطح مختلف وراثت‌پذیری (۰/۰۵ و ۰/۰۲۵) برای هر صفت در نظر گرفته شد. خلاصه جمعیت شبیه‌سازی شده و پارامترهای بکار رفته در جدول ۱ نشان داده شده است. برای شبیه‌سازی فوتیپ آستانه‌ای دودویی، کد صفر برای دام‌های پایین‌تر از میانگین صفت و کد یک برای دام‌های با فوتیپ بالاتر از میانگین صفت در نظر گرفته شد. نشانگرهای با فراوانی الی کمیاب (MAF) کمتر از ۰/۰۵ حذف شدند. برای ارزیابی مدل ۱۰ تکرار از هر سناریو در نظر گرفته شد. شکل ۱ مراحل مختلف پروسه‌ی طراحی شده در تحقیق خاضر را به صورت شماتیک نشان می‌دهد.

جانه‌ی نشانگرها

بعد از شبیه‌سازی جمعیت با تراکم ۱۰K، با کمک برنامه نویسی در نرمافزار R و به طور تصادفی اقدام به حذف ۹۰ و ۵ درصد نشانگرها جمعیت تایید (نسل ۱۲۱۰) نموده و در مرحله بعدی از طریق برنامه‌ی FlImpute (۳۵) اقدام به جانه‌ی و پیش‌بینی نقاط گم شده از طریق روایط فامیلی و الگوریتم‌های برپایه جمعیت شد و در نهایت صحت جانه‌ی از طریق همبستگی داده‌های اصلی و جانه‌ی برای نشانگرها مورد ارزیابی قرار خواهد گرفت.

عدم تعادل پیوستگی

سطح LD برای سناریوهای مختلف شبیه‌سازی شده با استفاده از محاسبه‌ی توان دوم ضریب همبستگی (r^2) بین

تراشه‌های ۷K به تراشه‌های با تراکم بالا (با نرخ حذف ۹۹/۱ درصد نشانگرها) صحت جانه‌ی بالای ۰/۹۲۵ را در پی داشت. با این حال جانه‌ی تراشه‌های ۱۵K به تراشه‌های با تراکم بالا، بهترین عملکرد را از نظر جننه‌های اصلاحی و اقتصادی در پی داشت (۹). چن و همکاران (۱۰) به بررسی اثر تراکم‌های مختلف نشانگری و اندازه جمعیت مرجع بر صحت جانه‌ی گاوها نر هلشتاین در سناریوهای مختلف ژنومی پرداختند. نتایج آنها نشان داد که با کاهش تراکم نشانگرها و اندازه جمعیت مرجع، صحت جانه‌ی به شدت کاهش یافت و جانه‌ی تراشه‌های ۶K (در مقایسه با تراشه‌های ۳K) به ۵۰K صحت جانه‌ی بالای ۰/۹۷ را به همراه داشت (۱۰).

فهم بهتر آنچه در انتخاب ژنومیک پیش‌بینی می‌شود به روش آنالیز آماری واسته است. روش‌های مختلفی در گزینش ژنومی مطرح شده است. یکی از این روش‌ها یادگیری ماشینی می‌باشد (۱۱). جنگل تصادفی یکی از الگوریتم‌های یادگیری ماشینی می‌باشد که اولین بار توسط بریمن (۷) پیشنهاد شد. بعدها گنزالس ریکاردو (۱۶) از جنگل تصادفی برای آنالیز ژنومی صفات آستانه‌ای، لی و همکاران (۲۳) و نگوین و همکاران (۲۸) برای مطالعات پویش ژنومی و غفوری کسبی و همکاران (۱۲) از آن برای ارزیابی ژنومی سناریوهای شبیه سازی شده استفاده کردند. یکی از مزیت‌های کلیدی روش جنگل تصادفی توانایی آن در تجزیه و تحلیل داده‌های با ابعاد بسیار بالا می‌باشد. با این حال آشونگی در داده‌های آموزشی از محدودیت‌های روش جنگل تصادفی می‌باشد (۱۳).

تحقیقاتی که تاکنون در مورد گزینش ژنومی در ایران و سایر کشورهای پیشرو در این زمینه انجام شده تمرکز بیشتر روی صفات کمی بوده و مطالعات کمتری (۱۲، ۱۶، ۲۷) در مورد صفات آستانه‌ای از جمله تولید مثلی و مقاومت به بیماری‌ها صورت گرفته است. لذا پژوهش حاضر با هدف بررسی صحت برآورد ارزش‌های اصلاحی ژنومی صفات کمی و آستانه‌ای دودویی با معماری‌های مختلف ژنتیکی شامل تعداد متفاوت QTL، سطوح متفاوت وراثت‌پذیری و LD با استفاده از روش‌های یادگیری ماشینی در دو گروه داده شبیه‌سازی شده و جانه‌ی، انجام شده است.

مواد و روش‌ها

شبیه‌سازی ژنوم

جمعیت‌ها با استفاده از نرم افزار QMSim (۳۶) شبیه سازی شدند. در مرحله اول، برای تولید جمعیتی با LD پایین، یک جمعیت پایه با ۹۸۰۰ ماده و ۲۰۰ نر طی ۱۰۰۰ نسل شبیه‌سازی شد. برای تولید جمعیتی با LD بالا، پس از شبیه‌سازی LD پایین، تعداد افراد جمعیت از طریق ایجاد یک گلوگاه ژنتیکی (Bottleneck) به ۲۰۰ راس در نسل ۱۱۰۰ کاهش یافت. سپس در آخرین جمعیت پایه، بعد از ۱۰۰ نسل (در نسل ۱۲۰۰) تعداد افراد جمعیت به فاز اول خود یعنی ۹۸۰۰ ماده و ۲۰۰ نر برگشت داده شدند. در گام دوم، برای ایجاد جمعیت مرجع و تایید، همه افراد (۱۰۰۰۰ راس) آخرین نسل جمعیت پایه برای تولید مثل در جمعیت حاضر مورد استفاده قرار گرفتند که در این بین ۲۰۰ راس نر در نظر

$$\hat{f}_{rf}^P(x) = \frac{1}{P} \sum_{p=1}^P T(x; \Psi p)$$

در اینجا Ψp ، P امین درخت و برای هر مشاهده (x) از طریق میانگین پیش‌بینی‌های هر درخت محاسبه می‌شود. $T(x; \Psi p)_1^P$ در برگیرنده مشاهدات خارج از درخت می‌باشد. سایر حیواناتی که جز این نمونه‌گیری نیستند به عنوان خارج از مجموعه شناخته شده و در اعتبارسنجی هر درخت گزینش می‌شوند.

جنگل تصادفی از اطلاعات افراد جمعیت مرتع ایجاد می‌شود. سپس مدل ایجاد شده در جمعیت مرتع بر جمعیت تأیید اعمال می‌شود. در ابتدا یکی از نمونه‌ها وارد هر گره از هر درخت شده و از این نمونه اطلاعات یک نشانگر برای تقسیم‌بندی افراد مورد استفاده قرار می‌گیرد و در نهایت افراد بر اساس اطلاعات ژنتیکی خود برای نشانگرانتخاب شده دسته‌بندی می‌شوند. این عمل در گره‌های متوالی انجام می‌شود تا در نهایت به گره‌های پایانی میرسیم که در آنها حداکثر بکنوختی وجود خواهد داشت (۱۳). داده‌های ژنومی شبیه‌سازی شده از طریق بسته‌ی RanFoG (۱۶) و نرم‌افزار R مورد آنالیز قرار گرفتند.

در نهایت نتایج حاصل از داده‌ها شبیه‌سازی شده با استفاده از روش جنگل تصادفی در جمعیت تأیید برآورد شد و صحت پیش‌بینی ژنومی از طریق همبستگی پیرسون بین ارزش‌های اصلاحی پیش‌بینی شده (داده‌های اصلی و جانبه) و ارزش‌های اصلاحی واقعی محاسبه شد (۴۸). فرمول ضریب همبستگی پیرسون به صورت زیر می‌باشد.

$$r_{EBV, TBV} = \frac{\sum_{i=1}^n (\overline{EBV} - \overline{TBV})(TBV_i - \overline{TBV})}{\sqrt{(\overline{EBV} - \overline{TBV})^2} \sqrt{(TBV_i - \overline{TBV})^2}}$$

در اینجا $r_{EBV, TBV}$ ضریب همبستگی بین ارزش اصلاحی واقعی و پیش‌بینی شده، n تعداد مشاهدات، EBV برآرزن اصلاحی پیش‌بینی ژنومی با استفاده از جنگل تصادفی و TBV ارزش اصلاحی واقعی (شبیه‌سازی شده) می‌باشد.

$$r^2 = \frac{D^2}{f(A)f(a)f(B)f(b)}$$

همه‌ی جفت نشانگرهای ممکن ارزیابی گردد (۱۷):

در این فرمول، $D = f(AB) - f(A)f(B)$ بوده و $f(a), f(b), f(AB)$ و $f(A)$ بمهیجه ترتیب، فراوانی‌های مشاهده شده هاپلوتاپ AB و آلل‌های a, A و b می‌باشند.

نرم‌افزار 1.9 PLINK (۳۳) برای برآورد LD بین جفت نشانگرهای مختلف در ژنوم همه حیوانات موجود در آخرين نسل مورد استفاده قرار گرفت.

روش آماری

ایده اصلی جنگل تصادفی استفاده از نمونه‌برداری پیاپی از جمعیت و بدست آوردن تقریبی از توزیع واریانس صفت می‌باشد. در داده‌های اعتبار سنجی، درختان طبقه‌بندی توسط بوت استرایپینگ در آنالیز جنگل تصادفی ساخته می‌شوند. از طریق استراتژی بگینگ و انتخاب متغیر تصادفی، جنگل تصادفی باعث کاهش خطای پیش‌بینی ژنومی می‌شود.

سه پارامتر اصلی و مهمی که در جنگل تصادفی در مورد کلاس‌بندی بایستی تنظیم شود عبارتند از mtry، تعداد SNP نمونه‌برداری شده در هر بار نمونه‌گیری تصادفی، tree يا تعداد بوت استرپ و یا تعداد درختانی که بایستی رشد کنند و معیاری برای انتخاب بهترین SNP برای تقسیم شدن هر گره است، nodesize، حداقل اندازه گره پایانی و که نشان‌دهنده‌ی تعداد مشاهدات در هر شاخه درخت است.

غوری کسبی (۱۳) تنظیم و بهینه‌سازی پارامترهای اصلی بر عملکرد جنگل تصادفی در پیش‌بینی ارزش‌های اصلاحی ژنومی را از ملزمات اجرای این روش عنوان کردند. با توجه به اینکه الگوبرداری سناریوهای شبیه‌سازی تحقیق حاضر برگرفته از تحقیق نادری و همکاران (۲۶) بود، در نتیجه از پارامترهای بهینه و تنظیمی آن که بر اساس پارامتر خطای خارج از کیسه انتخاب شدند استفاده شد. در نهایت تعداد متغیر انتخاب در هر گره درخت برابر با دو-سوم تعداد نشانگرهای برای صفات کمی (۶۴۰۰) و جذر تعداد نشانگرها برای صفات آستانه‌ای (۱۰۰)، تعداد درخت برابر ۲۰۰۰ و حداقل اندازه گره‌های پایانی برای داده‌های کمی و آستانه‌ای به ترتیب برابر ۵ و یک در نظر گرفته شد.

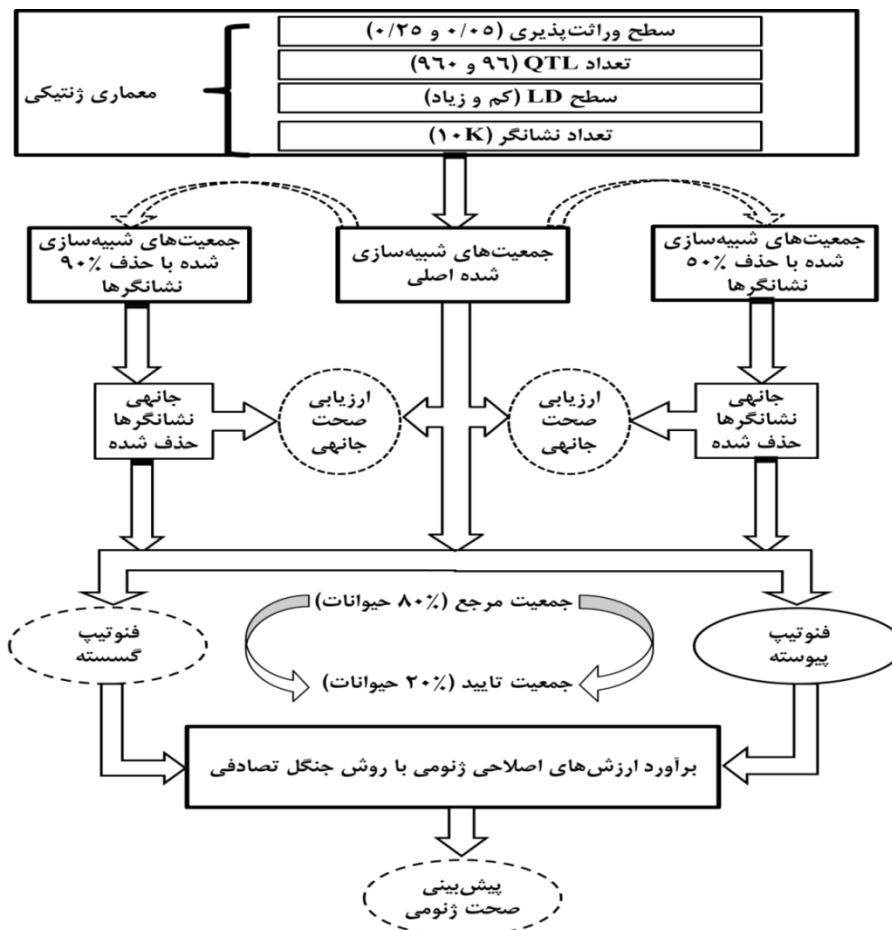
مدل کلی جنگل تصادفی به صورت زیر است.

جدول ۱- پارامترهای فرآیند شبیه‌سازی

Table 1. Parameters of the simulation process

ساختار جمعیت	با LD*	با LD ⁿ	پایین
جمعیت اولیه			
غاز اول تعداد نسل (تعداد افراد)			
گلوگاه			
غاز دوم تعداد نسل (تعداد افراد)			
غاز سوم تعداد نسل (تعداد افراد)			
تعداد جوانات در نسل آخر			
جمعیت اخیر			
تعداد نرها در نسل اخیر			
تعداد مادها در نسل اخیر			
تعداد تکبیری جمعیت اخیر بعد از نسل			۱۲۰۰
جمعیت مرجع			
جمعیت تایید			
تعداد نتایج به ازای هر زایش			
احتمال نر بودن نتاج			
انتخاب و طرح آمیزش			
نرخ جایگزینی برای نرها			
نرخ جایگزینی برای مادها			
متیار حذف			
ژئوم			
تعداد کروموزوم			
طول هر کروموزوم (سانتی مورگان)			
تعداد QTL به ازای هر کروموزوم			
اثر آلل‌های QTL			
تعداد نشانگر به ازای هر کروموزوم			
نرخ چشم در نشانگر و QTL ها			
واثق‌بندی			

*: عدم تعادل پیوستگی



شکل ۱- طرح شماتیک استراتژی کل تحقیق
Figure 1. Schematic of the whole process

در مقایسه با سایر تحقیقات مورد تفسیر قرار داد. با توجه به اینکه عوامل مختلفی می‌توانند صحت ارزش‌های اصلاحی ژنومی و ارزیابی ژنومی را تحت تأثیر قرار دهد، این عوامل شامل توزیع اثرات QTL، مقدار عدم تعادل پیوستگی، نوع و تراکم مارکرها، وراثت‌پذیری، نحوه رکورددگیری، تعداد داده‌های فنوتیپی در جمعیت مرجع و فاصله زمانی (تعداد نسل) بین جمعیت مرجع و جمعیت تأیید می‌باشند (۴۳). در نتیجه هر کدام از این عوامل می‌تواند به طور جداگانه نتایج حاصل از تحقیقات مختلف را تحت تأثیر قرار دهد.

نتایج نشان داد که روش جنگل تصادفی صحت پیش‌بینی ژنومی بالاتری برای صفات آستانه‌ای در مقایسه با صفات کمی دارد که این به ماهیت ناپارامتری این روش بر می‌گردد. در نتیجه علاوه بر عوامل فوق الذکر، صحت ژنومی تحت تأثیر نوع صفت و مدل آماری مورد مطالعه نتایج متفاوتی را در پسی خواهد داشت. با این حال نتایج حاصل از این تحقیق، مقدار مشابهی از صحت ژنومی با سایر محققان (۲۶) هنگام استفاده از عماری‌های ژنومی یکسان از طریق روش جنگل تصادفی داشته است.

نتایج و بحث

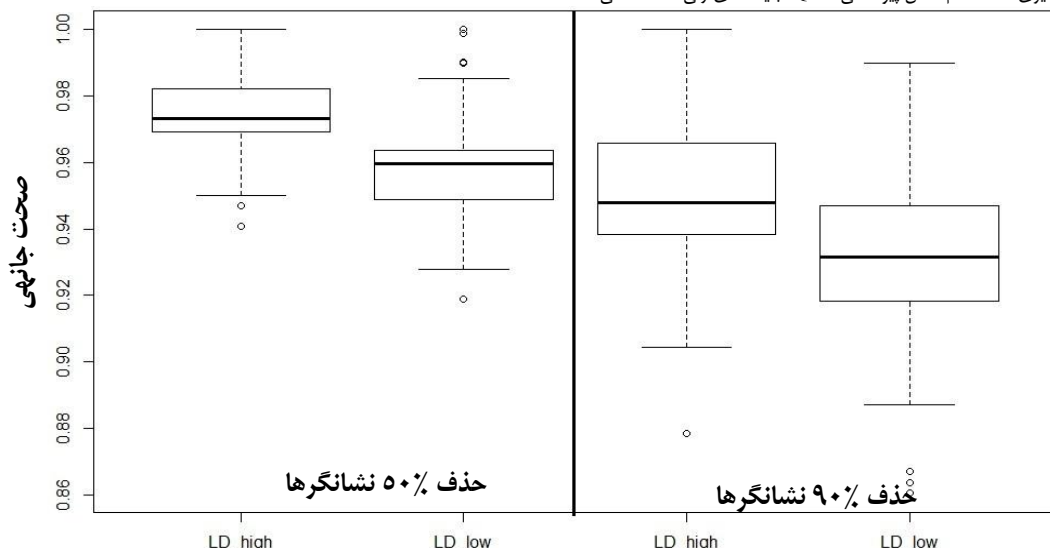
صحت جانه‌ی و عدم تعادل پیوستگی

جدول ۲ میانگین عدم تعادل پیوستگی و صحت جانه‌ی برای هریک از سناریوهای شبیه‌سازی شده از طریق همبستگی داده‌های اصلی و جانه‌ی شده (۵۰ و ۹۰ درصد) را نشان می‌دهد. به طور کلی با افزایش درصد حذف نشانگرها از ۵۰ به ۹۰، صحت ایمپوتبیشن کاهش یافت، و این کاهش صحت جانه‌ی برای سناریوهای با LD پایین (۰/۲۸۳) نسبت به سناریوهای با LD بالا (۰/۲۳۵) مشهودتر بود. اثر عدم تعادل پیوستگی بر صحت جانه‌ی به صورت نمودار جعبه‌ای در شکل ۲ ترسیم شده است. نتایج تجزیه واریانس نشان داد که عدم تعادل پیوستگی اثر معنی‌داری بر صحت جانه‌ی دارد ($P < 0.05$)، به طوری که میانگین صحت جانه‌ی در سناریوهای با میانگین عدم تعادل پیوستگی بالا ($LD = 0/272$) و پایین ($LD = 0/143$) برای داده‌های با حذف ۵۰ درصد نشانگرها، به ترتیب $0/974$ و $0/959$ و برای داده‌های با حذف ۹۰ درصد نشانگرها، به ترتیب $0/951$ و $0/931$ بود. از چند منظر می‌توان پایین بودن صحت ژنومی حاصل از تحقیق حاضر را

جدول ۲- میانگین و انحراف استاندارد عدم تعادل پیوستگی و صحت جانه‌ی بین ژنوتیپ‌های اصلی و جانه‌ی شده در سناریوهای مختلف
Table 2. Mean and standard deviation (in bracket) of linkage disequilibrium and imputation accuracy between imputed and original genotypes in different scenarios

نوع سناریو	میانگین در LD بالا	میانگین در LD ۵۰٪ حذف	میانگین در LD ۹۰٪ حذف	سناریو
سناریو ۱ (LD پایین، QTL و وراثت‌پذیری ۰/۰۵)	۰/۱۴۴	۰/۱۴۳	۰/۹۳۲ ± ۰/۱۸	سناریو ۱ (LD پایین، ۹۶QTL و وراثت‌پذیری ۰/۰۵)
سناریو ۲ (LD بالا، QTL و وراثت‌پذیری ۰/۰۵)	۰/۲۸۲	۰/۲۸۰ ± ۰/۱۳	۰/۹۵۷ ± ۰/۱۵	سناریو ۲ (LD بالا، ۹۶QTL و وراثت‌پذیری ۰/۰۵)
سناریو ۳ (LD پایین، ۹۶QTL و وراثت‌پذیری ۰/۲۵)	۰/۱۴۳	۰/۱۶۰ ± ۰/۱۵	۰/۹۳۱ ± ۰/۱۶	سناریو ۳ (LD پایین، ۹۶QTL و وراثت‌پذیری ۰/۲۵)
سناریو ۴ (LD بالا، ۹۶QTL و وراثت‌پذیری ۰/۲۵)	۰/۲۶۷	۰/۹۷۳ ± ۰/۱۳	۰/۹۵۱ ± ۰/۱۸	سناریو ۴ (LD بالا، ۹۶QTL و وراثت‌پذیری ۰/۲۵)
سناریو ۵ (LD پایین، QTL و ۹۶QTL و وراثت‌پذیری ۰/۰۵)	۰/۱۴۱	۰/۹۵۵ ± ۰/۱۶	۰/۹۲۶ ± ۰/۱۸	سناریو ۵ (LD پایین، QTL و ۹۶QTL و وراثت‌پذیری ۰/۰۵)
سناریو ۶ (LD بالا، ۹۶QTL و وراثت‌پذیری ۰/۰۵)	۰/۲۶۵	۰/۹۷۰ ± ۰/۱۱	۰/۹۴۳ ± ۰/۱۶	سناریو ۶ (LD بالا، ۹۶QTL و وراثت‌پذیری ۰/۰۵)
سناریو ۷ (LD پایین، ۹۶QTL و وراثت‌پذیری ۰/۲۵)	۰/۱۴۴	۰/۹۵۵ ± ۰/۱۱	۰/۹۳۳ ± ۰/۱۷	سناریو ۷ (LD پایین، ۹۶QTL و وراثت‌پذیری ۰/۲۵)
سناریو ۸ (LD بالا، ۹۶QTL و وراثت‌پذیری ۰/۰۵)	۰/۲۷۲	۰/۹۷۶ ± ۰/۱۶	۰/۹۵۳ ± ۰/۱۸	سناریو ۸ (LD بالا، ۹۶QTL و وراثت‌پذیری ۰/۰۵)

χ^2 : وراثت‌پذیری، LD: عدم تعادل پیوستگی، QTL: جایگاه‌های ژنی صفات کمی



شکل ۲- نمودار جعبه‌ای، صحت جانه‌ی برای سطوح مختلف عدم تعادل پیوستگی
Figure 2. The box-plots of imputation accuracy for the different levels of linkage disequilibrium.

۰/۹۲۵ را در پی داشت. طبق گزارشات ون رادن و همکاران (۴۱) صحت جانه‌ی در برخی از مناطق ژنوم کمتر از ۰/۶ گزارش شده است که این به ماهیت ژنوم و سطح بسیار پایین LD در این مناطق بستگی داشت.

صحت پیش‌بینی ارزش‌های اصلاحی ژنومی
جدول ۳، صحت پیش‌بینی ارزش‌های اصلاحی ژنومی روش جنگل تصادفی را در هریک از سناپوهای شبیه‌سازی شده (اصلی و جانه‌ی) برای صفات کمی و آستانه‌ای نشان می‌دهد.

به‌طور کلی تفاوت معنی‌داری بین صحت پیش‌بینی ژنومی بین صفات آستانه‌ای و کمی مشاهده شد ($P < 0/05$). افزایش در صحت ژنومی صفات آستانه‌ای نسبت به صفات کمی دامنه‌ای بین ۱۴-۱۹ درصدی داشت. این اختلاف صحت با افزایش نسبت حذف نشانگری بالاتر بود، به‌طوری که در داده‌های با حذف ۹۰٪ نشانگرها، صحت ژنومی برای صفات آستانه‌ای حدود ۰/۰۴۵ واحد نسبت به صفات کمی افزایش یافت. با افزایش درصد حذف نشانگری، صحت پیش‌بینی ژنومی کاهش یافت، که این کاهش برای صفات پیوسته مشهودتر بود. بیشترین و کمترین میزان صحت ژنومی به ترتیب برای صفات آستانه‌ای، سناریو ۸ و ۵ و برای صفات کمی، سناریو ۴ و ۵ بود.

در گوسفندان رامنی، ونتورا و همکاران (۴۲) صحت جانه‌ی از تراشه ۵K به ۵۰K را در دامنه‌ای بین ۰/۵۷۸-۰/۸۵۴ گزارش کرد. دلیل این امر را می‌توان به تفاوت معماری ژنومی و همچنین کوچک بودن اندازه مؤثر جمعیت در این تزاد عنوان کرد. گزارشات دیگر جانه‌ی از آن است که جانه‌ی از ۷K به ۵K نسبت به ۳K صحت جانه‌ی بالاتر داشت و تفاوت معنی‌داری مشاهده شد. با این حال طیانی و همکاران (۴۰) گزارش کرد که جانه‌ی ۳K به تراشه‌های با تراکم بسیار بالا می‌تواند منجر به نتایج قابل قبولی از صحت داشته باشد.

ساخیر گزارشات در مورد ذرت بلالی (۱۸)، گاوهای هلشتاین-فریزین استرالیایی (۲۲)، گاوهای هلشتاین آلمان (۲۵)، گاوهای فلکویه (۳۰)، خوک یورکشاپر (۲)، گاوهای نلور بربزیل (۶)، گاوهای سیاه ژاپنی (۲۹) و گاوهای فریزین و هلشتاین (۳۱) نشان دادند که میزان LD از مهمترین فاکتورهای مؤثر بر صحت جانه‌ی می‌باشد. این در حالی بود که نتایج هوزه و همکاران (۲۰) نشان از تأثیر جزئی میزان LD بر صحت جانه‌ی در تزاده‌ای گاو فرانسوی داشت. کاروالیو و همکاران (۹) صحت جانه‌ی ژنومی را برای تراکم‌های متفاوت نشانگری در گاو تزاد نیلوور مورد ارزیابی قرار داد. نتایج آن‌ها نشان داد که با نرخ حذف ۱/۹۹ درصدی نشانگرها و تبدیل تراشه به ۷K بازهم صحت جانه‌ی بالای

جدول ۳- میانگین و انحراف استاندارد صحت پیش‌بینی ارزش‌های اصلاحی ژنومی در داده‌های اصلی و جانه‌ی با استفاده از روش جنگل تصادفی

Table 3. Mean and standard deviation of GEBVs accuracies by random forest method in the original and imputed SNP genotypes

	صحت ژنومی صفات کمی			صحت ژنومی صفات آستانه‌ای			شماره سناریو
	حذف ۹۰٪ نشانگرها	حذف ۵۰٪ نشانگرها	اصلی	حذف ۹۰٪ نشانگرها	حذف ۵۰٪ نشانگرها	اصلی	
۰/۱۶۴ ± ۰/۰۲	۰/۱۹۱ ± ۰/۰۳	۰/۲۱۴ ± ۰/۰۱		۰/۱۹۵ ± ۰/۰۲	۰/۲۱۸ ± ۰/۰۲	۰/۲۴۶ ± ۰/۰۱	۱
۰/۲۲۴ ± ۰/۰۲	۰/۲۳۵ ± ۰/۰۲	۰/۲۵۷ ± ۰/۰۲		۰/۱۸۵ ± ۰/۰۳	۰/۳۰۲ ± ۰/۰۲	۰/۳۳۴ ± ۰/۰۲	۲
۰/۲۴۱ ± ۰/۰۳	۰/۲۶۴ ± ۰/۰۲	۰/۲۹۴ ± ۰/۰۲		۰/۱۹۴ ± ۰/۰۳	۰/۳۲۵ ± ۰/۰۳	۰/۳۶۱ ± ۰/۰۲	۳
۰/۳۳۰ ± ۰/۰۳	۰/۳۵۱ ± ۰/۰۲	۰/۳۶۰ ± ۰/۰۲		۰/۳۴۱ ± ۰/۰۲	۰/۳۵۹ ± ۰/۰۲	۰/۳۸۳ ± ۰/۰۱	۴
۰/۱۲۸ ± ۰/۰۲	۰/۱۵۶ ± ۰/۰۲	۰/۱۸۵ ± ۰/۰۲		۰/۱۷۴ ± ۰/۰۲	۰/۱۹۱ ± ۰/۰۲	۰/۲۲۵ ± ۰/۰۲	۵
۰/۲۰۴ ± ۰/۰۲	۰/۲۲۱ ± ۰/۰۱	۰/۲۴۳ ± ۰/۰۱		۰/۲۲۹ ± ۰/۰۲	۰/۲۵۰ ± ۰/۰۲	۰/۲۶۳ ± ۰/۰۲	۶
۰/۲۲۲ ± ۰/۰۳	۰/۲۴۷ ± ۰/۰۲	۰/۲۷۶ ± ۰/۰۲		۰/۲۷۵ ± ۰/۰۳	۰/۲۹۱ ± ۰/۰۲	۰/۳۳۰ ± ۰/۰۲	۷
۰/۲۹۴ ± ۰/۰۲	۰/۳۱۴ ± ۰/۰۲	۰/۳۳۱ ± ۰/۰۲		۰/۳۷۸ ± ۰/۰۳	۰/۴۰۰ ± ۰/۰۲	۰/۴۲۱ ± ۰/۰۱	۸

جانه‌ی بر صحت ژنومی، با افزایش حذف نشانگری از ۵۰ به ۹۰ درصد افزایش یافت، و این افزایش برای صفات آستانه‌ای مشهودتر بود.

بررسی مدل رگرسیونی تحقیق حاضر نشان داد که صحت جانه‌ی اثر معنی‌داری بر صحت ژنومی دارد (جدول ۴). به‌طوری که افزایش صحت جانه‌ی، افزایش صحت پیش‌بینی ژنومی را در داده‌های جانه‌ی به همراه داشت. اثر مثبت صحت

Table 4. Effect of imputation accuracy on accuracy of genomic prediction

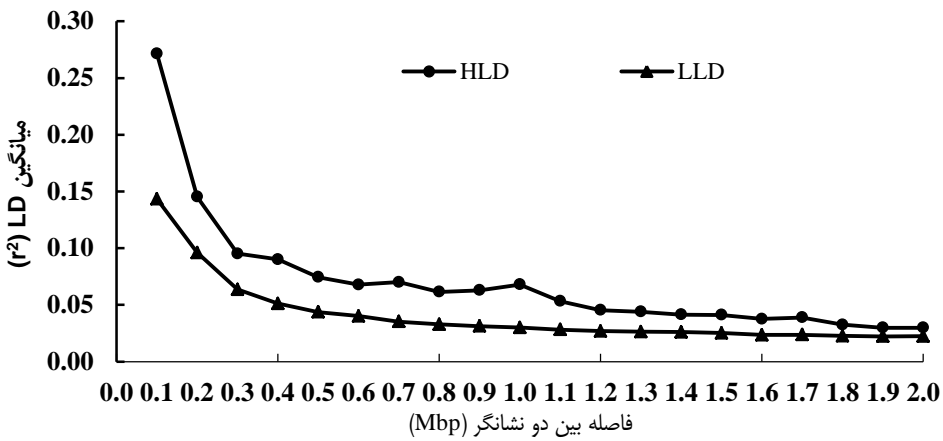
Accuracy _{bin90%} = -3.42+3.93*IA _{bin90%}	R ² _{adj} =0.67
Accuracy _{con90%} = -3.18+3.62*IA _{con90%}	R ² _{adj} =0.656
Accuracy _{bin50%} = -3.98+4.42*IA _{bin50%}	R ² _{adj} =0.470
Accuracy _{con50%} = -3.23+3.60*IA _{con90%}	R ² _{adj} =0.541

Accuracy_{bin90%} و Accuracy_{con90%} به ترتیب صحت ژنومی صفات گسته و پیوسته برای نشانگرها جانه‌ی با حذف ۹۰٪ و Accuracy_{bin50%} و Accuracy_{con50%} به ترتیب صحت ژنومی صفات گسته و پیوسته برای نشانگرها جانه‌ی با حذف ۵۰٪ و IA_{bin90%} و IA_{con90%} به ترتیب صحت ژنومی نشانگرها جانه‌ی با حذف ۹۰٪ و IA_{bin50%} و IA_{con50%} به ترتیب صحت جانه‌ی نشانگرها جانه‌ی با حذف ۵۰٪ می‌باشد.

میانگین^۲ با افزایش فاصله بین نشانگرها کاهش یافت. روند نمایی کاهش LD با افزایش فاصله فیزیکی بین دو نشانگر با نتایج به دست آمده در مطالعات دیگر مطابقت دارد (۴۸،۴۹).

نادری و همکاران (۲۶) عدم تعادل پیوستگی را در فاصله ۰/۰۵ سانتی مورگان در سناریوهای با LD پایین و بالا به ترتیب ۰/۲۲۴ و ۰/۴۲۵ گزارش کردند.

اثر عدم تعادل پیوستگی بر صحبت ژنومی شکل ۳، میانگین^۲ برای فواصل مختلف ۰/۱ تا دو مگاچفت‌باز (۲ Mbp) برای میانگین کروموزوم‌ها را در سناریوهای با LD پایین و LD بالا نشان می‌دهد. میانگین عدم تعادل پیوستگی برای سناریوهای با LD پایین و بالا در فاصله ۰/۱ سانتی مورگان به ترتیب ۰/۱۴۳ و ۰/۲۷۱ بود.



شکل ۳- میانگین عدم تعادل پیوستگی در فواصل مختلف ژنوم
Figure 3. Mean of linkage disequilibrium in different intervals of the genome

عاملی تأثیرگذار در بهبود صحبت پیش‌بینی ارزش‌های اصلاحی ژنومی عنوان کرد. صحبت بالای جانبه‌ی با دامنه تغییرات ۰/۹۵۵-۰/۹۸۰ (میانگین ۰/۹۶۷) و ۰/۹۲۶-۰/۹۵۷ (میانگین ۰/۹۴۱) به ترتیب راه حل مناسبی برای برآورد SNP‌های با نرخ حذف ۵۰٪ و ۹۰٪ بود. علاوه بر نرخ بالای صحبت جانبه‌ی در برخی سناریوهای نقش پررنگ اثر LD بر صحبت جانبه‌ی حائز اهمیت بود. اثر مثبت صحبت جانبه‌ی بر صحبت ژنومی در صفات آستانه‌ای نسبت به صفات کمی مشهودتر بود. به عنوان یک مسئله مهم، بکارگیری ژنتوتیپ‌های جانبه‌ی با نسبت حذف ۵۰٪ (در مقایسه با حذف ۹۰٪) به جای ژنتوتیپ‌های اصلی، تأثیر جزئی و غیر معنی‌داری در کاهش صحبت پیش‌بینی ارزش‌های اصلاحی ژنومی داشت. در نتیجه این اثر مثبت جانبه‌ی بر صحبت پیش‌بینی ژنومی، می‌تواند در کاهش هزینه ژنومی مؤثر باشد.

ساختار معماری ژنومی (LD و وراثت‌پذیری) و توزیع فوتوتیپی صفات (کمی یا آستانه‌ای) از فاکتورهای مؤثر بر صحبت پیش‌بینی ارزش‌های اصلاحی ژنومی در روش جنگل تصادفی بودند. به طور کلی و با درنظر گرفتن جنبه‌های مختلف معماری ژنومی و صحبت جانبه‌ی، عملکرد روش جنگل تصادفی بر صحبت ژنومی صفات آستانه‌ای نسبت به صفات پیوسته برتری داشت.

نتایج آنالیز واریانس نشان داد که اثر LD بر صحبت پیش‌بینی ژنومی ناشی از روش جنگل تصادفی معنی‌دار بود. با افزایش نسبت جانبه‌ی اثر مثبت افزایش LD بر صحبت پیش‌بینی ژنومی در هر دو سری صفات کمی و آستانه‌ای بیشتر بود. افزایش LD در داده‌های اصلی و ایمپوت شده صفات کمی، افزایش ۲۳ تا ۳۹ درصدی و برای داده‌های آستانه‌ای افزایشی ۱۹ تا ۳۱ درصدی در صحبت ژنومی را به همراه داشت، با این حال صحبت ژنومی روش جنگل تصادفی در صفات آستانه‌ای برای سطوح مختلف LD بیشتر از صفات کمی بود. بیشترین میزان صحبت پیش‌بینی ژنومی برای صفات آستانه‌ای، در سناریو ۸ و برای صفات کمی در سناریو ۴ بود، که در هر دو سناریو نقش ویژه LD بر جسته می‌باشد. سطح بالای LD بین QTL‌ها و نشانگرها نشان داد که نشانگرهای با تراکم زیاد سهم بالایی از واریانس ژنتیکی را به خود اختصاص می‌دهند، در نتیجه این امر منجر به عملکرد مثبت جنگل تصادفی می‌شود (۲۶). به طور کلی وجود LD در یک جمعیت به شدت با اندازه مؤثر جمعیت در ارتباط است (۴۵). به عنوان یک اصل کلی، وجود LD بین نشانگرها و QTL منبع اصلی اطلاعات بوده، و نقش عمده‌ای در صحبت پیش‌بینی ارزش‌های اصلاحی ژنومی ایفا می‌کنند (۳۸). جواناس و همکاران (۲۱) در صفات کمی و نادری و همکاران (۲۶) در صفات آستانه‌ای، وجود LD در بین نشانگرها را

منابع

- Atefi, A., A.A. Shadparvar, and N.G. Hosseini-Zadeh. 2016. Comparison of whole genome prediction accuracy across generations using parametric and semi parametric methods. *Acta Scientiarum. Animal Sciences*, 38(4): 447-453.
- Badke, Y.M., R.O. Bates, C.W. Ernst, J. Fix and J.P. Steibel. 2014. Accuracy of estimation of genomic breeding values in pigs using low-density genotypes and imputation. *G3: Genes Genomes Genetics*, 4(4): 623-631.
- Banesh, H., A. Nejati-Javaremi, G. Rahimi-Mianji and M. Honarvar. 2017. Genomic evaluation of threshold traits with different genetic architecture using bayesian approaches. *Research on Animal Production*, 8: 149-154 (In Persian).
- Beckmann, J. and M. Soller. 1983. Restriction fragment length polymorphisms in genetic improvement: methodologies, mapping and costs. *Theoretical and Applied Genetics*, 67(1): 35-43.
- Bo, Z., J.J. Zhang, N. Hong, G. Long, G. Peng, L.Y. Xu, C. Yan, L.P. Zhang, H.J. Gao and G. Xue. 2017. Effects of marker density and minor allele frequency on genomic prediction for growth traits in Chinese Simmental beef cattle. *Journal of Integrative Agriculture*, 16(4): 911-920.
- Boison, S., H.H. Neves, A.P.O. Brien, Y.T. Utsunomiya, R. Carvalheiro, M.da Silva, J. Solkner and J.F. Garcia. 2014. Imputation of non-genotyped individuals using genotyped progeny in Nellore, a Bos indicus cattle breed. *Livestock Science*, 166:176-189.
- Breiman, L. 2001. Random forests. *Machine learning*, 45(1): 5-32.
- Browning, S.R. 2008. Missing data imputation and haplotype phase inference for genome-wide association studies. *Human genetics*, 124(5): 439-450.
- Carvalheiro, R., S.A. Boison, H.H. Neves, M. Sargolzaei, F.S. Schenkel, Y.T. Utsunomiya, A.M.P. Obrien, J. Solkner, J.C. McEwan, and C.P. Van Tassell. 2014. Accuracy of genotype imputation in Nelore cattle. *Genetics Selection Evolution*, 46(1): 69.
- Chen, L., C. Li, M. Sargolzaei and F. Schenkel. 2014. Impact of genotype imputation on the performance of GBLUP and Bayesian methods for genomic prediction. *PLoS One*, 9(7): e101544.
- Clark, S.A., J.M. Hickey and J.H. Van der Werf. 2011. Different models of genetic variation and their effect on genomic evaluation. *Genetics Selection Evolution*, 43(1): 18.
- Ghafouri-Kesbi, F., G. Rahimi-Mianji, M. Honarvar and A. Nejati-Javaremi. 2017. Predictive ability of random forests, boosting, support vector machines and genomic best linear unbiased prediction in different scenarios of genomic evaluation. *Animal Production Science*, 57(2): 229-236.
- Ghafouri-Kesbi, F., G. Rahimi-Mianji, M. Honarvar, and A. Nejati-Javaremi. 2016. Tuning and application of random forest algorithm in genomic evaluation. *Research on Animal Production*, 7 (13): 178-185 (In Persian).
- Goddard, M. and B. Hayes. 2007. Genomic selection. *Journal of Animal breeding and Genetics*, 124(6): 323-330.
- Goddard, M.E. and B.J. Hayes. 2009. Mapping genes for complex traits in domestic animals and their use in breeding programmes. *Nature Reviews Genetics*, 10(6): 381-391.
- Gonzalez-Recio, O. and S. Forni. 2011. Genome-wide prediction of discrete traits using Bayesian regressions and machine learning. *Genetics Selection Evolution*, 43(1): 7.
- Hayes, B. and M.E. Goddard. 2001. The distribution of the effects of genes affecting quantitative traits in livestock. *Genetics Selection Evolution*, 33: 209.
- Hickey, J.M., J. Crossa, R. Babu and G. de los Campos. 2012. Factors affecting the accuracy of genotypeimputation in populations from several maize breeding programs. *Crop Science*, 52(2): 654-663.
- Hill, W. and A. Robertson. 1968. Linkage disequilibrium in finite populations. *TAG Theoretical and Applied Genetics*, 38(6): 226-231.
- Hoze, C., M.N. Fouilloux, E .Venot, F. Guillaume, R. Dassonneville, S. Fritz, V. Ducrocq, F. Phocas, D. Boichard and P. Croiseau. 2013. High-density marker imputation accuracy in sixteen French cattle breeds. *Genetics Selection Evolution*, 45(1): 33.
- Jonas, D., V. Ducrocq and P. Croiseau. 2017. The combined use of linkage disequilibrium-based haploblocks and allele frequency-based haplotype selection methods enhances genomic evaluation accuracy in dairy cattle. *Journal of Dairy Science*, 100(4): 2905-2908.
- Khatkar, M.S., G. Moser, B.J. Hayes and H.W. Raadsma. 2012. Strategies and utility of imputed SNP genotypes for genomic analysis in dairy cattle. *BMC genomics*, 13(1): 538.
- Li, Y., J. Kijas, J. Henshall, S. Lehnert, R. McCulloch, and A. Reverter. 2014. Using random forests (RF) to prescreen candidate genes: A new prospective for GWAS. in Proc. Proc. of 10th World Congress for Genetics Applied to Livestock Production, British Columbia, Vancouver.
- Meuwissen, T., B. Hayes and M. Goddard. 2001. Prediction of total genetic value using genome-wide dense marker maps. *Genetics*, 157(4): 1819-1829.
- Mulder, H., M. Calus, T. Druet and C. Schrooten. 2012. Imputation of genotypes with low-density chips and its effect on reliability of direct genomic values in Dutch Holstein cattle. *Journal of dairy science*, 95(2): 876-889.
- Naderi, S., T. Yin and S. Konig. 2016. Random forest estimation of genomic breeding values for disease susceptibility over different disease incidences and genomic architectures in simulated cow calibration groups. *Journal of Dairy Science*, 99(9): 7261-7273.
- Neves, H.H., R. Carvalheiro and S.A. Queiroz. 2012. A comparison of statistical methods for genomic selection in a mice population. *BMC genetics*, 13(1): 100.
- Nguyen, T.T., J.Z. Huang, Q. Wu, T.T. Nguyen and M.J. Li. 2015 .Genome-wide association data classification and SNPs selection using two-stage quality-based Random Forests. Page S5 in Proc. BMC genomics. BioMed Central Ltd.

29. Ogawa, S., H. Matsuda, Y. Taniguchi, T. Watanabe, A. Takasuga, Y. Sugimoto and H. Iwaisaki. 2016. Accuracy of imputation of single nucleotide polymorphism marker genotypes from low-density panels in Japanese Black cattle. *Animal Science Journal*, 87(1): 3-12.
30. Pausch, H., B. Aigner, R. Emmerling, C. Edel, K.U. Götz and R. Fries. 2013. Imputation of high-density genotypes in the Fleckvieh cattle population. *Genetics Selection Evolution*, 45(1): 3.
31. Pausch, H., I.M. MacLeod, R. Fries, R. Emmerling, P.J. Bowman, H.D. Daetwyler and M.E. Goddard. 2017. Evaluation of the accuracy of imputed sequence variant genotypes and their utility for causal variant detection in cattle. *Genetics Selection Evolution*, 49(1): 24.
32. Pimentel, E., C. Edel, R. Emmerling and K.U. Gotz. 2015. How imputation errors bias genomic predictions. *Journal of dairy science*, 98(6): 4131-4138.
33. Purcell, S., B. Neale, K. Todd-Brown, L. Thomas, M.A. Ferreira, D. Bender, J. Maller, P. Sklar, P.I. De Bakker and M.J. Daly. 2007. PLINK: a tool set for whole-genome association and population-based linkage analyses. *The American Journal of Human Genetics*, 81(3): 559-575.
34. Saatchi, M., J. Ward and D. Garrick. 2013. Accuracies of direct genomic breeding values in Hereford beef cattle using national or international training populations. *Journal of animal science*, 91(4): 1538-1551.
35. Sargolzaei, M., J. Chesnais and F. Schenkel. 2011. FImpute-An efficient imputation algorithm for dairy cattle populations. *Journal of Dairy Science*, 94(1): 421-422.
36. Sargolzaei, M. and F.S. Schenkel. 2009. QMSim: a large-scale genome simulator for livestock. *Bioinformatics*, 25(5): 680-681.
37. Solberg, T., A. Sonesson and J. Woolliams. 2008. Genomic selection using different marker types and densities. *Journal of animal science*, 86(10): 2447-2454.
38. Sun, X., R. Fernando and J. Dekkers. 2016. Contributions of linkage disequilibrium and co-segregation information to the accuracy of genomic prediction. *Genetics Selection Evolution*, 48(1): 77.
39. Thomasen, J.R. 2013. Genomic selection in small dairy cattle populations. Aarhus UniversitetAarhus University, Science and TechnologyScience and Technology, Institut for Molekylærbiologi og GenetikDepartment of Molecular Biology and Genetics, Institut for Molekylærbiologi og GenetikCenter for Kvæntitativ Genetik og Genomforskning Department of Molecular Biology and GeneticsCenter for Quantitative Genetics and Genomics.
40. Toghiani, S., S. Aggrey and R. Rekaya. 2016. Multi-generational imputation of single nucleotide polymorphism marker genotypes and accuracy of genomic selection. *animal*, 10(7): 1077-1085.
41. VanRaden, P., D. Null, M. Sargolzaei, G. Wiggans, M. Tooker, J. Cole, T. Sonstegard, E. Connor, M. Winters, and J. van Kaam. 2013. Genomic imputation and evaluation using high-density Holstein genotypes. *Journal of dairy science*, 96(1): 668-678.
42. Ventura, R.V., S.P. Miller, K.G. Dodds, B. Auvray, M. Lee, M. Bixley, S.M. Clarke and J.C. McEwan. 2016. Assessing accuracy of imputation using different SNP panel densities in a multi-breed sheep population. *GeneticsSelection Evolution*, 48(1): 71.
43. Villumsen, T., L. Janss and M. Lund. 2009. The importance of haplotype length and heritability using genomic selection in dairy cattle. *Journal of Animal Breeding and Genetics*, 126(1): 3-13.
44. Visscher, P. and C. Haley. 1998. Strategies for marker-assisted selection in pig breeding programmes. *Stočarstvo*, 52(6): 425-434.
45. Wang, Q., Y. Yu, J. Yuan, X. Zhang, H. Huang, F. Li and J. Xiang. 2017. Effects of marker density and population structure on the genomic prediction accuracy for growth trait in Pacific white shrimp *Litopenaeus vannamei*. *BMC genetics*, 18(1): 45.
46. Wang, Y., G. Lin, C. Li and P. Stothard. 2016. Genotype Imputation Methods and Their Effects on Genomic Predictions in Cattle. *Springer Science Reviews*, 4(2): 79-98.
47. Wientjes, Y.C., R.F. Veerkamp, P. Bijma, H. Bovenhuis, C. Schroeten and M.P. Calus. 2015. Empirical and deterministic accuracies of across-population genomic prediction. *Genetics Selection Evolution*, 47(1): 5.
48. Yin, T., E. Pimentel, U.K.V. Borstel and S. Konig. 2014. Strategy for the simulation and analysis of longitudinal phenotypic and genomic data in the context of a temperature× humidity-dependent covariate. *Journal of dairy science*, 97(4): 2444-2454.

Evaluation of Genomic Prediction Accuracy in Different Genomic Architectures of Quantitative and Threshold Traits with the Imputation of Simulated Genomic Data using Random Forest Method

Yousef Naderi

Assistant Professor, Department of Animal Science, Astara Branch, Islamic Azad University, Astara, Iran

(Corresponding author: y.naderi@iau-astara.ac.ir)

Received: January 15, 2018

Accepted: June 11, 2018

Abstract

Genomic selection is a promising challenge for discovering genetic variants influencing quantitative and threshold traits for improving the genetic gain and accuracy of genomic prediction in animal breeding. Since a proportion of genotypes are generally uncalled, therefore, prediction of genomic accuracy requires imputation of missing genotypes. The objectives of this study were (1) to quantify imputation accuracy and to assess the factors affecting it; and (2) to evaluate the genomic accuracy of random forest (RF) algorithm to analyze binary threshold and quantitative traits. In the first phase, genomic data were simulated by QMSim software to reflect variations in heritability ($h^2 = 0.05$ and 0.25), number of QTL (QTL=96 and 960) and linkage disequilibrium (LD=low and high) for 48 chromosomes. In the second phase, for real condition simulating, we randomly masked markers with 50% and 90% missing rate for each scenario; afterwards, hidden markers were imputed using FImpute software, and estimated imputation accuracy. In the third phase, to estimate genomic breeding values, we applied Random forest algorithm for original (before masking a proportion of SNPs) and imputed genotypes with quantitative and quality phenotypes. The accuracy of imputation was improved with increasing level of LD. With increase a major proportion of masked markers (90%), results of current study shed light on the effects of imputation accuracy on accuracy of genomic prediction. In the scenario combining the highest heritability, LD and QTL for threshold traits and in the scenario combining the highest heritability and LD and the least QTL for quantitative traits, random forest method had the best performance of genomic accuracy. Generally, accuracy of genomic prediction for threshold traits had more precise than quantitative trait when using the random forest method.

Keywords: Linkage disequilibrium, Discrete traits, Machine learning, Imputation, Genomic architecture